



# БИООРГАНИЧЕСКАЯ ХИМИЯ

том 16 \* № 6 \* 1990

УДК 577.413.4 : 577.152.312\*64

© 1990 г.

*М. А. Зенкова, Г. Г. Карпова, А. С. Левина,  
С. В. Мамаев, В. В. Соловьев\**

## КОМПЛЕМЕНТАРНО АДРЕСОВАННОЕ АЛКИЛИРОВАНИЕ 16S рРНК *ESCHERICHIA COLI* 2',3'-O-[4-N-МЕТИЛ-N-(2-ХЛОРЭТИЛ)- АМИНОБЕНЗИЛИДЕНОВЫМИ] ПРОИЗВОДНЫМИ ОЛИГОДЕОКСИРИБОНУКЛЕОТИДОВ

### IV\*. ОПРЕДЕЛЕНИЕ УЧАСТКОВ СВЯЗЫВАНИЯ 16S рРНК С БЕНЗИЛИДЕНОВЫМИ ПРОИЗВОДНЫМИ d(pACCTTGTT)rA, d(pTTTACGACT)rU, d(TTTGCTCCCC)rA

*Новосибирский институт биоорганической химии СО АН СССР;*

*\*Институт цитологии и генетики СО АН СССР, Новосибирск*

Впервые с помощью гибридизации фрагментов 16S рРНК, полученных в результате гидролиза РНК с помощью РНКазы Н в составе ковалентных аддуктов (продуктов сайт-направленной модификации 16S рРНК 2',3'-O-[4-N-метил-N-(2-хлорэтил) аминобензилиденовыми] производными олигодезоксирибонуклеотидов d(pACCTTGTT)rA, d(pTTTACGACT)rU, d(pTTTGCTCCCC)rA — реагентов (II) — (IV) соответственно), с фрагментами рестрикции плазмида рKK 3535, содержащей полный оперон *rrnB* рРНК *E. coli*, были определены все участки взаимодействия реагентов (II) — (IV) с 16S рРНК. Обнаружено соответствие между расчетной стабильностью несовершенного гетеродуплекса 16S рРНК-олигонуклеотид и относительной степенью модификации 16S рРНК по данному участку алкилирующим производным этого олигонуклеотида. Показано, что при проведении сайт-направленного алкилирования при высоких концентрациях реагентов ((2—3) · 10<sup>-5</sup> М) кроме алкилирования по выбранному участку, которое является основным, происходит модификация РНК в составе ряда несовершенных комплексов. В большей степени модифицируются участки 16S рРНК, образующие несовершенные гетеродуплексы с реагентом, в которых в комплексе с РНК находится один из концов олигонуклеотидного адреса реагента. Обсуждается влияние вторичной структуры 16S рРНК на сайт-направленную модификацию.

Основной принцип взаимодействия нуклеиновых кислот — принцип комплементарности — положен в основу подхода для направленной модификации нуклеиновых кислот, предложенного Н. И. Гриневой и названного комплементарно адресованной модификацией [2]. При использовании в качестве матрицы отдельных олигодезоксирибонуклеотидов или однозепочечных фрагментов ДНК с маловыраженной пространственной структурой наблюдалось высокоселективное алкилирование нуклеотидных остатков только вблизи участков связывания реагента, образующих с ним совершенные комплексы [3—5]. Данные по локализации точек модификации тРНК с использованием >CH<sub>2</sub>Cl и Cl<sub>2</sub>RCH<sub>2</sub>NH-производных олигонуклеотидов [6], а также полученные нами ранее данные по комплементарно адресованной модификации 16S рРНК [1, 7] указывают на то, что наряду с алкилированием по выбранным участкам рРНК происходит модификация в составе комплексов, в которых не все основания реагента образуют комплементарные пары с основаниями матрицы. По-видимому, несовершенная комплементационная точность характерна для сайт-направ-

\* Сообщение III см. [1]. Сокращения: >CH<sub>2</sub>Cl — 2',3'-O-[4-N-метил-N-(2-хлорэтил)аминобензилиденовые] производные; Cl<sub>2</sub>RCH<sub>2</sub>NH — [4-N-метил-N-(2-хлорэтил)-аминобензил]-5'-фосфамидо-; SDS — додецилсульфат натрия.

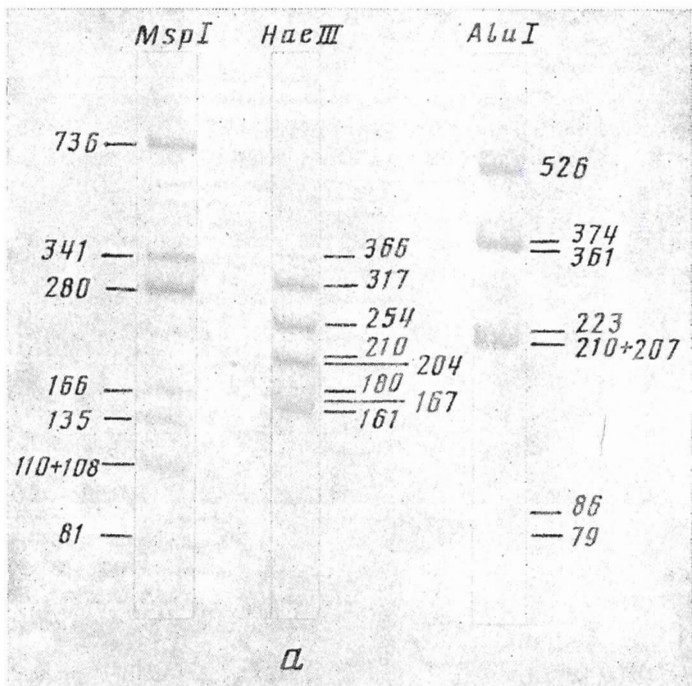
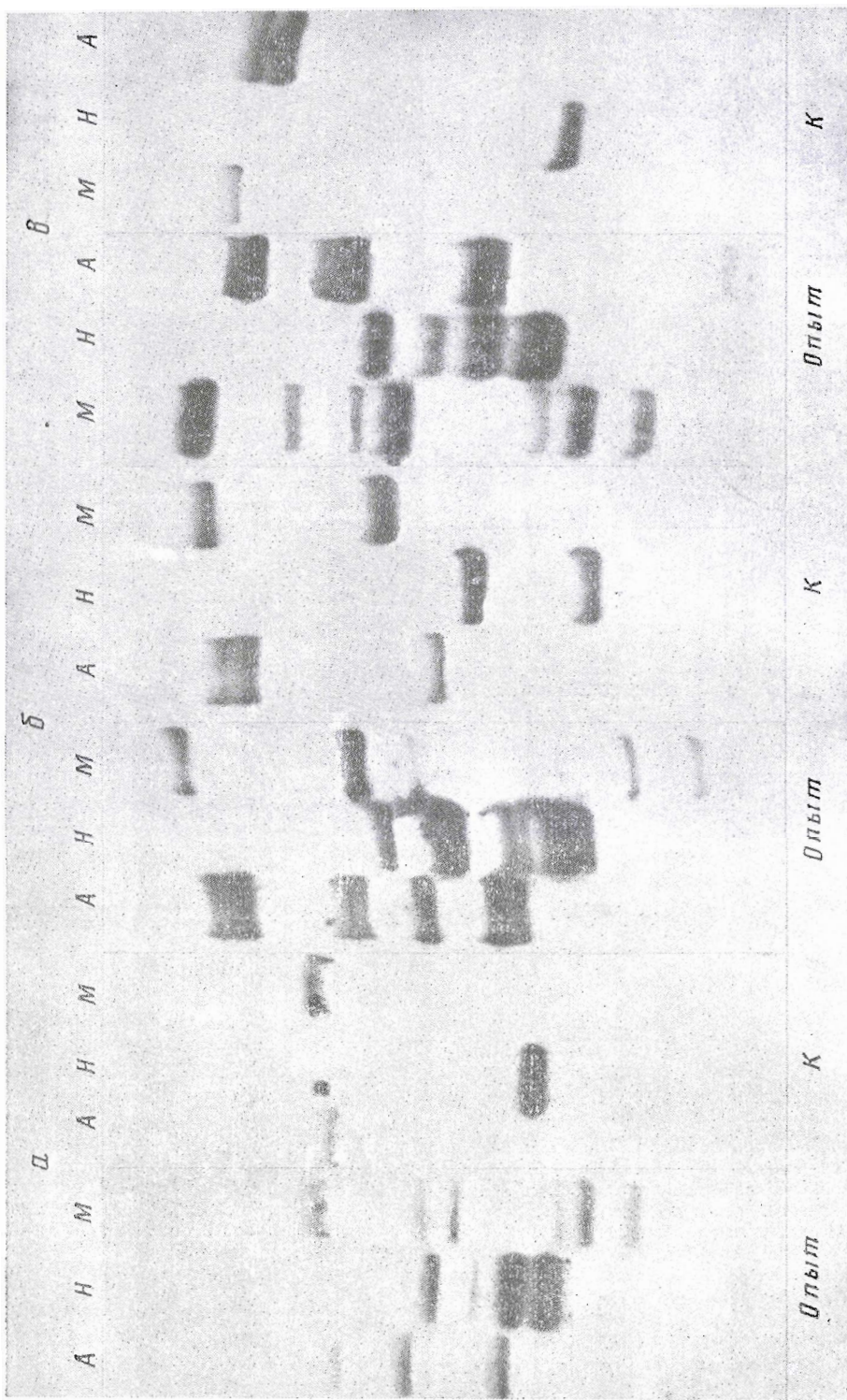


Рис. 1. Определение положения на фильтре фрагментов рестрикции рДНК, содержащих участки 16S рРНК. *a* — блот-гибридизация фрагментов рестрикции рДНК со смесью  $^{32}\text{P}$ -мечеными фрагментами 16S рРНК, получающими в результате ограниченного щелочного гидролиза 16S рРНК;  $^{32}\text{P}$ -местка вводилась после щелочного гидролиза реакцией кипирования. Цифрами указаны размеры фрагментов в парах оснований; *b* — схематическое изображение расположения фрагментов рестрикции на фильтре; цифрами указаны размеры фрагмента (над фрагментом) и участок 16S рРНК, соответствующий этому фрагменту (слева)

ленной модификации нуклеиновых кислот, обладающих достаточно сложной пространственной организацией.

В настоящей работе с помощью метода блот-гибридизации проведена идентификация всех участков 16S рРНК, взаимодействующих с бензилиденовыми производными олигонуклеотидов d(pACCTTGTT)rA, d(pTTACGACT)rU, d(pTTTGCTCCCC)rA — реагентов (II)–(IV) соответственно; оценены относительные стабильности несовершенных гетеродуп-



лексов; показана возможность использования теоретических подходов [8, 9] для предсказания вероятных участков связывания РНК с адресованным реагентом.

Идентификацию участков алкилирования 16S рРНК реагентами (II)–(IV) проводили с помощью гибридизации фрагментов 16S рРНК, полученных в результате гидролиза РНК с помощью РНКазы Н в составе ковалентных аддуктов (продуктов сайт-направленной модификации 16S рРНК реагентами (II)–(IV)), с фрагментами рестрикции плазмида рКК 3535, содержащей полный оперон *rRNA* *E. coli*.

Алкилирование 16S рРНК (концентрация 1,0·10<sup>-6</sup> М) при 20° С при использовании 20-кратных мольных избытков реагентов (II) и (IV) и 30-кратного избытка реагента (III) по отношению к РНК, согласно [1, 7], происходит на предельную глубину. Причем в этих условиях модификация протекает как в совершенном комплексе, так и в несовершенных гетеродуплексах. Образовавшиеся в результате алкилирования ковалентные аддукты отделяли от избытка реагента с помощью центрифугирования в градиенте плотности сахарозы в присутствии 1% SDS, как описано в работе [10]. Выделенный ковалентный аддукт гидролизовали РНКазой Н. В используемых нами условиях происходит количественное расщепление цепи 16S рРНК в составе ковалентных аддуктов [1, 11]. По 3'-ОН-группам образовавшихся фрагментов 16S рРНК вводили <sup>32</sup>P-метку с помощью [<sup>32</sup>P]рСр и Т4-РНК-лигазы. Полученную таким образом смесь [<sup>32</sup>P]фрагментов 16S рРНК использовали далее для идентификации сайтов разрезания РНКазой Н с помощью blot-гибридизации с фрагментами рестрикции рДНК.

Фрагмент *Bam*НI–*Xba*I длиной 3240 п. о., включающий в себя полную последовательность 16S рРНК, был вырезан из плазмида рКК 3535, содержащей полный оперон *rRNA* рибосомных РНК *E. coli* [12]. Выделенный фрагмент *Bam*НI–*Xba*I гидролизовали в параллельных экспериментах тремя мелкощепящими рестриктазами: *Msp*I, *Hae*III, *Alu*I. Образовавшиеся в результате рестрикции фрагменты ДНК известного размера разделяли электрофорезом в 4% ПААГ и переносили на капроновый фильтр. Для однозначного определения положения на фильтре всех фрагментов рестрикции, содержащих участки 16S рРНК, фрагменты рДНК на каждом фильтре гибридизовали с <sup>32</sup>P-меченным щелочным гидролизатом 16S рРНК (рис. 1а). Отнесение сигналов гибридизации проводили, сопоставляя размеры гибридизующихся фрагментов ДНК с картой рестрикции фрагмента *Bam*НI–*Xba*I и последовательностью 16S рРНК (рис. 1б).

На рис. 2а–б показаны радиоавтограммы фильтров после гибридизации со смесью <sup>32</sup>P-меченых фрагментов 16S рРНК и обработки их с помощью РНКазы А. После такой обработки связанными с фрагментами ДНК на фильтре остаются только те части меченых фрагментов РНК, которые полностью защищены комплексообразованием. Обнаружение радиоактивной метки в месте, соответствующем какому-либо определенному фрагменту рестрикции, свидетельствует о положении участка связывания РНК с реагентом внутри участка РНК, соответствующего данному фрагменту рестрикции.

В качестве контроля приведены радиоавтограммы фильтров после гибридизации с <sup>32</sup>P-меченными ковалентными аддуктами (16S рРНК)–(II), (16S рРНК)–(III), (16S рРНК)–(IV), не гидролизованными РНКазой Н. Необходимость такого контроля обусловлена тем, что в процессе алкилирования 16S рРНК, а также выделения и ферментативных обработок ковалентных аддуктов может происходить неспецифическая деградация 16S

Рис. 2. Радиоавтограммы фильтров с иммобилизованными фрагментами рестрикции рДНК после гибридизации со смесью <sup>32</sup>P-меченых фрагментов 16S рРНК, образующихся в результате гидролиза цепи РНК с помощью РНКазы Н в составе ковалентных аддуктов с реагентами (II) (а;  $\alpha = 0,95$ ), (III) (б;  $\alpha = 1,60$ ), (IV) (в;  $\alpha = 1,25$ ). <sup>32</sup>P-Метка вводилась после гидролиза РНКазой Н по 3'-ОН-группам образовавшихся фрагментов РНК (опыт), контроль (к) — ковалентные аддукты (16S рРНК)–(II), (16S рРНК)–(III), (16S рРНК)–(IV) не подвергались гидролизу РНКазой Н. М — *Msp*I-, Н — *Hae*III-, А — *Alu*I-рестрикты;  $\alpha$  — число остатков реагента, моль/моль РНК

рРНК, сопровождающаяся образованием дополнительных фрагментов, содержащих 3'-ОН-группы внутри данного участка, не связанных с сайтом-направленной модификацией РНК. В контроле при отсутствии неспецифической деградации 16S рРНК должна наблюдаться гибридизация  $^{32}\text{P}$ -меченых ковалентных аддуктов с фрагментами рестрикции рДНК, соответствующими 3'-концевой части молекулы РНК. Это фрагменты длиной 341 (*Msp*I), 254 (*Hae*II) и 223 п. о. (*Alu*I). Гибридизация этих фрагментов наблюдается в контроле для ковалентного аддукта (16S рРНК)—(III) (рис. 2б). В ковалентных аддуктах (16S рРНК)—(II) и (16S рРНК)—(IV) в процессе всех обработок произошло повреждение 3'-конца 16S рРНК, что привело к исчезновению в контрольном эксперименте полос, соответствующих гибридизации 3'-концевого участка 16S рРНК с соответствующими фрагментами рестрикции (рис. 2а, в). Кроме того, в контрольном эксперименте в случае всех трех реагентов происходит гибридизация РНК с фрагментами рестрикции, содержащими последовательность, соответствующую участку 16S рРНК 46—80 (рис. 2).

Радиоавтограммы фильтров, представленных на рис. 2а—б, сканировали с помощью лазерного сканера и определяли распределение радиоактивной метки между фрагментами на каждой дорожке (скане). Ввиду того что эффективность переноса на капроновую мемброну зависит от длины фрагмента [13] и короткие фрагменты в отличие от длинных в условиях гибридизации образуют менее прочные комплексы с  $^{32}\text{P}$ -меченым зондом, мы ввели параметр  $I_j^*$  — относительную интенсивность сигнала гибридизации  $j$ -фрагмента рестрикции рДНК:

$$I_j^* = \frac{\ln I_j}{l_j},$$

где  $I_j$  — интенсивность сигнала гибридизации  $j$ -фрагмента ДНК, равная площади пика  $j$ -фрагмента на скане, выраженная в процентах от общей площади пиков на скане данной дорожки (фрагменты, гибридизующиеся и в опыте, и в контроле, не учитывались);  $l_j$  — длина  $j$ -фрагмента. Введение параметра  $I_j^*$  в такой форме объясняется тем, что  $I_j^* \sim Kx_j = \exp(-\Delta G_j/RT)$ , где только  $\Delta G_j$  зависит от длины  $j$ -фрагмента  $l_j$ . Данные отнесения сигналов гибридизации и сканирования приведены на рис. 3а—в для реагентов (IV), (II), (III) соответственно.

Как видно из рис. 3а—в, модификация 16S рРНК реагентами (II)–(IV) происходит по нескольким участкам для каждого из реагентов. С помощью блот-гибридизации  $^{32}\text{P}$ -меченых фрагментов РНК с фрагментами рестрикции рДНК удалось определить как положение сайтов связывания реагентов с 16S рРНК с точностью приблизительно до 100 нуклеотидов, так и относительную степень модификации 16S рРНК по каждому из участков ( $I_j^*$ ). Для реагента (IV) на долю гибридизации, соответствующей алкилированию РНК по выбранному участку в совершенном комплексе (771–781), приходится не менее 20% суммарной  $^{32}\text{P}$ -метки во фрагментах РНК. Причем наиболее короткий фрагмент *Msp*I-рестрикции длиной 135 п. о., включающий в себя эту область, имеет максимальное значение  $I_j^* = 20,7$ . Кроме того, выявлены еще три участка прочного связывания реагента (IV) с 16S рРНК (416–502 ( $I_j^* = 10$ ), 613–718 ( $I_j^* = 11$ ), 856–900 ( $I_j^* = 14–15$ )) и ряд слабых комплексов в областях 16S рРНК (82–166, 167–245, 930–1076, 1140–1306, 1383–1542; значение  $I_j^*$  для этих участков находится в области 5–9 единиц).

На рис. 3б приведены результаты определения участков 16S рРНК, взаимодействующих с реагентом (II). Ввиду того что реагент (II) комплементарен 3'-концевой последовательности РНК 1497–1505, с помощью гибридизации не удалось точно определить степень связывания реагента (II) с выбранным участком, так как 3'-конец 16S рРНК в ковалентном аддукте оказался поврежденным. Тем не менее гибридизация, соответствующая модификации по выбранному участку, является основной. В независимых экспериментах [1] с помощью прямого секвенирования по методу [14] основных фрагментов 16S рРНК, образующихся в результате гидролиза ковалентного аддукта (16S рРНК)—(II) РНКазой Н, было показано,

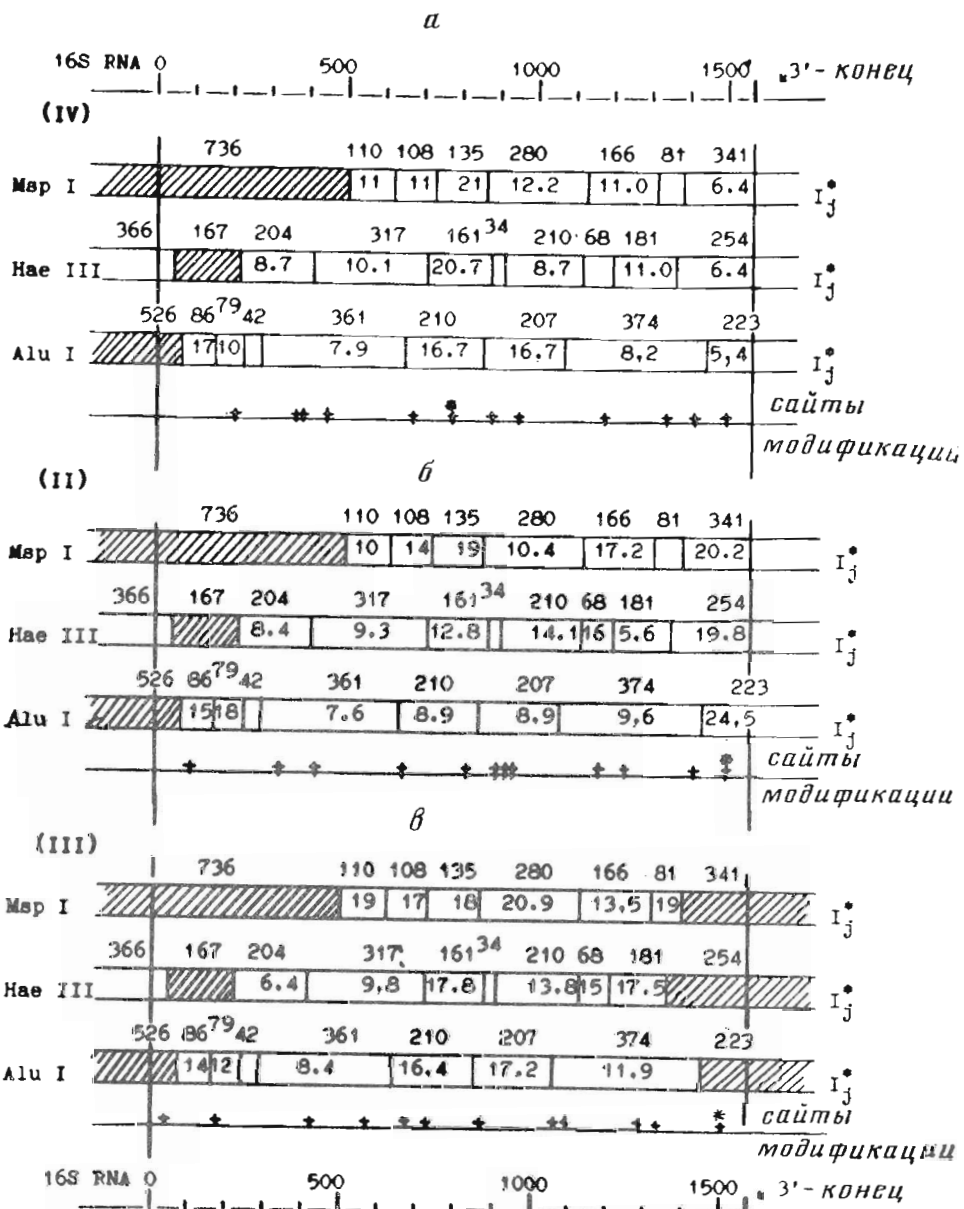


Рис. 3. Определение фрагментов 16S рРНК, взаимодействующих с реагентами (II)–(IV), с помощью блот-гибридициации: данные сканирования радиоавтограмм, представленные на рис. 2, для реагентов (IV) (a), (II) (б), (III) (в) соответственно: вертикальные линии внутри прямоугольников указывают сайты рестрикции,шкала соответствия с последовательностью 16S рРНК приведена в верхней и нижней частях рисунка; цифрами внутри прямоугольников указаны величины  $I_j$ , над прямоугольниками — размеры фрагмента рестрикции; заштрихованы фрагменты, гибридизующиеся и в опыте, и в контроле; знаком + на шкале 16S рРНК внизу каждого из рисунков указаны сайты модификации для каждого из реагентов, определенные сопоставлением экспериментальных данных и результатов теоретической оценки стабильности несовершенных гетеродуплексов; звездочкой отмечено положение совершенного дуплекса

что все эти фрагменты представляют собой 3'-конец молекулы и соответствуют расщеплению по участку 1497–1505. На долю этих фрагментов приходилось не менее 50%  $^{32}$ P-метки, включавшейся в РНК после гидролиза РНКазой Н по сайтам связывания реагента (II).

В данной работе определены участки 212–415, 416–502, 613–718, 733–855, 858–1077, 1140–1205, 1206–1306, которые являются сайтами модификации 16S рРНК реагентом (II) в несовершенном комплексе.

Таблица 1

Определение участков 16S рРНК, образующих комплексы с реагентом (IV)  
 $(d(pTTGCTCCCC)rA > CHCl)$ : сопоставление данных контекстного  
анализа; теоретической оценки стабильности гетеродуплексов  
по программе «Energy» ( $\Delta G_j$ ) и по методу [8] ( $-\lg K_H/K_C$ )  
с экспериментальными результатами

Участки 16S рРНК *	Последовательность 16S рРНК **	$\Delta G_j$	$-\lg K_H/K_C$	Интенсивность сигнала гибридизации ***
110–120	<u>GGGUGAGUAAU</u>	-14,40	7,38	
143–153	<u>GGGGGAUAACU</u>	-16,50	8,71	
199–209	<u>GGGGGACCUUC</u>	-16,50	7,80	+
357–367	<u>UGGGGAAUAUU</u>	-18,60	7,10	++
373–383	<u>AUGGGCGCAAG</u>	-15,90	4,78	++
442–452	<u>CGGGGAGGAAG</u>	-19,10	3,58	+++
450–460	<u>AAGGGAGUAAA</u>	-17,20	5,10	(++)
537–547	<u>GAGGGUGCAAG</u>	-17,40	6,63	
565–573	<u>CUGGGCGUAAA</u>	-12,40	8,12	
663–673	<u>AGGGGGGUAGA</u>	-19,20	8,13	+++
706–716	<u>UCUGGAGGAAU</u>	-9,50	7,98	
(771–781)	<u>UGGGGAGCAAA</u>	-29,50	0	++++
883–893	<u>UGGGGAGUACG</u>	-22,30	4,1	++++
940–950	<u>GGUGGGAGCAUG</u>	-15,40	5,95	++
1182–1192	<u>UGGGGAUGACG</u>	-18,60	8,36	++
1265–1275	<u>GCGAGAGCAAG</u>	-12,10	6,40	
1351–1361	<u>CGUGGAUCAGA</u>	-8,00	9,48	
1419–1429	<u>UGGGUUGCAAA</u>	-18,40	6,05	++
1450–1460	<u>UCGGGGAGGGCG</u>	-15,40	8,57	
1484–1494	<u>AGGGGAACCUUG</u>	-16,50	7,46	++

\* Скобками выделен участок 16S рРНК, образующий с реагентом совершенный комплекс; штриховой линией подчеркнуты участки 16S рРНК, в составе которых происходит алкилирование РНК.

\*\* Подчеркнуты основания, образующие уотсон-криковские пары с реагентом; точкой отмечены возможные G·U-пары.

\*\*\* +..+ — относительная интенсивность сигнала гибридизации, соответствующая взаимодействию реагента с каждым конкретным участком 16S рРНК; (++) — недостаточно экспериментальных данных для однозначной идентификации данного сайта (подробно см. текст).

Реагент (III), так же как и (II), образует совершенный комплекс с 3'-концом 16S рРНК (1491–1499). Поскольку фрагменты РНК, содержащие 3'-концевую последовательность, гибридизуются и в опыте, и в контроле, с помощью данного метода не удается получить информацию о модификации 16S рРНК в совершенном комплексе с реагентом (III). Участки 16S рРНК 1–45, 162–211, 416–501, 502–612, 649–718, 719–855, 856–893, 927–1077, 1078–1137, 1206–1385, идентифицированные с помощью гибридизации, представляют собой модификацию в несовершенных гетеродуплексах. Таким образом, с помощью метода блот-гибридизации найдены области 16S рРНК с участками, образующими с реагентами (II)–(IV) как совершенные, так и несовершенные комплексы, в которых происходит сайт-направленная модификация 16S рРНК.

Для того чтобы более точно локализовать участки модификации 16S рРНК реагентами (II)–(IV) в несовершенных комплексах, был проведен поиск участков 16S рРНК, которые могут образовывать несовершенные комплексы с олигонуклеотидной частью реагентов (II)–(IV) внутри каждого из гибридизующихся фрагментов рестрикции с помощью программы контекстного анализа «Gomol» [15]. Учитывались все участки 16S рРНК, которые могут образовывать несовершенные гетеродуплексы, со-

Таблица 2

Определение участков 16S рРНК, образующих комплексы с реагентом (II)  
(p(dACCTTGTT)gA > CHRCI)

Участки 16S рРНК *	Последовательность 16S рРНК **	$\Delta G_j$	$-\lg K_{\text{H}}/K_{\text{C}}$	Интенсивность сигнала гибридизации ***
67–77	UAACACAUG	-8,80	5,07	(++)
95–103	UGACGAGUG	-8,30	7,45	
149–157	UAACUACUG	-2,50	7,40	
193–201	CAAAGAGGC	-3,30	7,10	
324–332*	AGACACGGU	-10,1	4,02	++
368–376	GCACAAUGG	-4,40	6,0	
409–417*	GAAGAAGGC	-8,60	4,54	++
443–651*	UGGCAACCU	-7,50	8,73	++
675–683	AUUCCAGGU	-5,80	5,95	
779–787	AAACAGGAU	-6,50	7,10	
813–821*	AAACGAUGU	-7,50	6,41	++
895–903*	CCGCAAGGU	-12,3	1,72	++
920–928	UGACGGGGG	-10,4	7,95	(+)
932–940	GCACAAGCG	-9,50	4,40	+
972–980	GAAGAACCU	-2,20	8,40	
1099–1107	CAACGAGCG	-6,40	6,03	
1174–1182*	GAGGAAGGU	-10,20	5,90	++
1213–1221	CGACCACGG	-6,50	5,95	
1233–1241*	CUACAAUGG	-6,90	5,95	++
1428–1436*	AAAGAAGUA	-4,40	5,26	+
(1497–1505*)	UAACAGGU	-17,40	0	++++

\* Скобками выделен участок 16S рРНК, образующий с реагентом совершенный комплекс; штриховой линией подчеркнуты участки 16S рРНК, в составе которых происходит алкилирование РНК; знаком «\*» отмечены открытые участки, звездочкой — участки, полностью занятые в образовании вторичной структуры РНК.

\*\* \*\*\* — см. примечание к табл. 1.

ддерживающие не менее 5 (для реагента (IV) 6) нормальных уотсон-криковских пар. В сумме для молекулы 16S рРНК было выявлено 82 таких участка для реагента (II), 93 — для реагента (III) и 75 участков для реагента (IV). Затем по программе «Energy» [9] была оценена величина  $\Delta G_j$  (изменение свободной энергии при образовании  $j$ -го несовершенного дуплекса). Эти значения  $\Delta G_j$  (табл. 1–3) использовались далее только для сопоставления относительной стабильности гетеродуплексов, потому что использованные в программе «Energy» экспериментальные данные по изменению свободной энергии комплекса при образовании каждой комплементарной пары и образовании петель получены для рибо-олигомерных дуплексов, состоящих из гомоолигомеров [16, 17].

Сравнительно недавно в работе Перельбойзена и Вологодского [8] был предложен теоретический метод оценки уровня модификации в несовершенных комплексах, основанный на статистической оценке равновесной термодинамической константы, который также позволяет оценить относительную стабильность несовершенных дуплексов. С помощью этого метода оценивается не абсолютное значение  $K_{\text{H}}$  ( $K$  — термодинамическая константа, индекс  $\text{H}$  — для несовершенного,  $\text{C}$  — для совершенного дуплексов), а отношение  $K_{\text{H}}/K_{\text{C}}$  по уравнению

$$\frac{K_{\text{H}}}{K_{\text{C}}} = \frac{1}{s_1 \cdot s_2 \cdot \dots \cdot s_{n-1} \cdot s_n} (s_j^* \cdot s_{j+1}^* \cdot \dots \cdot s_{j+k}^*),$$

$$s_{\text{A.T}} = 9,2, \quad s_{\text{G.C}} = 52,7; \quad s_j^* = \exp(-\Delta G_j^*/RT).$$

Таблица 3

**Определение участков 16S рРНК, взаимодействующих с реагентом (III)  
(p(dTACGACT)rU>CHRCI)**

Все обозначения идентичны обозначениям, приведенным в табл. 1, 2

Участки 16S рРНК *	Последовательность 16S рРНК **	$\Delta G_j$	$-\lg K_h/K_c$	Интенсивность сигнала гибридизации #
58–66#	AAGUCGAAC	-10,3	3,95	++
159–167	AAACGGUAG	-3,1	10,1	
181–189	ACGUCGCAA	-7,40	5,66	+
354–362	CAGUGGGGA	-7,10	8,27	
422–430	GGGUUGUAA	-8,80	4,32	++
451–459	ACGGAGUAA	-5,20	7,91	
564–572	UGGGCGUAA	-8,10	4,69	++
655–663*	GUCUCGUAG	-8,50	3,61	++
727–735#	AAGGCCGCC	-4,40	5,66	+++
806–814	ACGCCGUAA	-5,50	6,80	
843–851	GAGGCUGGG	-7,70	5,66	
871–879*	AAGUCGACC	-9,80	2,89	++
1058–1066*	CUGUCGUCA	-8,50	4,99	+
1071–1079	GUGUUGUGA	-6,40	6,71	
1091–1099	AAGUCCCGC	-6,80	4,61	+
1161–1169	CAGUGAUAA	-5,40	7,31	
1291–1299	GCCUCGUAG	-11,40	4,61	++
1331–1339#	AAGUCGGAA	-10,70	2,76	+++
(1491–1499#)	AAGUCGUAA	-17,10	0	(++++)

Первый член произведения учитывает дестабилизацию совершенного комплекса за счет некомплементарных оснований на концах олигонуклеотидного адреса, а второй — дестабилизацию дуплекса при образовании неизанонических пар:  $\Delta G_j^*$  — дестабилизация дуплекса за счет образования неправильной пары вместо  $j$ -й канонической пары оснований. Значения  $-\lg K_h/K_c$  также приведены в табл. 1—3; понятно, что, чем ближе данная величина к нулю, тем более стабилен несовершенный дуплекс.

**Реагент (IV).** С помощью программы контекстного анализа «Gomol» было обнаружено 75 участков в 16S рРНК, которые могут образовывать несовершенные комплексы различной стабильности с олигонуклеотидной частью реагента (IV). В табл. 1 включены 20 наиболее стабильных комплексов из 75, для которых значение  $\Delta G_j$  оказалось минимальным. Как и ожидалось, минимальное значение  $\Delta G_j$  имеет участок 16S рРНК 771—781, образующий совершенный комплекс с реагентом (IV). Кроме того, по оценке  $\Delta G_j$  выявлены еще три сайта прочного связывания реагента (IV) с 16S рРНК (442—452, 663—673, 883—893), которые соответствуют основным сигналам гибридизации. Сопоставление экспериментальных данных, полученных с помощью гибридизации, и  $\Delta G_j$  позволяет точно локализовать 13 комплексов (включая 771—781), в которых протекает модификация 16S рРНК реагентом (IV).

Для того чтобы оценить возможность использования метода [8] в предсказании наиболее стабильных несовершенных комплексов, для всех 75 дуплексов, найденных по программе «Gomol», было определено отношение  $K_h/K_c$ . Оказалось, что все участки, идентифицированные по совокупности данных гибридизации и значению  $\Delta G_j$  как сайты взаимодействия с реагентом (IV), попадают в группу наиболее стабильных дуплексов в соответствии с величинами  $-\lg K_h/K_c$ .

При сопоставлении полученных результатов с моделью вторичной структуры 16S рРНК [18] было обнаружено, что все участки связывания

реагента (IV) (в том числе и 771—781) находятся в областях 16S рРНК, занятых в образовании вторичной структуры (петля+шипелька). Таким образом, независимо от вторичной структуры РНК (множественные короткие шипельки и петли) происходит связывание реагента (IV) с участками 16S рРНК, образующими с ним наиболее прочные комплексы, и алкилирование в этих комплексах.

Для взаимодействия реагента (IV) с 16S рРНК наблюдается только два несоответствия между экспериментальными данными и теоретической оценкой стабильности гетеродуплекса. Во-первых, это несоответствие, найденное для участка 663—673. По данным гибридизации, наблюдается сильный сигнал во фрагментах ДНК, включающих в себя этот участок. Найденное значение  $\Delta G_j$  также указывает на существование стабильного дуплекса, тогда как  $-\lg K_n/K_c$  равен 8,13. Это, по-видимому, связано с тем, что для оценки стабильности несовершенных комплексов по методу [8] недостаточно экспериментальных данных, учитывающих возможность стабилизации гетеродуплекса за счет образования неканонических rG·dT- или dG·rU-пар. Каждая такая пара вносит в  $\Delta G$  дуплекса вклад порядка  $-0,5 \div -1,0$  ккал/моль согласно данным работы [19]. Этот вклад учитывается при оценке  $\Delta G$  по программе «Energy». Во-вторых, некоторые несоответствия наблюдаются для 5'-конца 16S рРНК: ни по энергии ( $\Delta G_j$ ), ни по отношению  $K_n/K_c$  в этой области не найдено достаточно стабильных комплексов между реагентом (IV) и 16S рРНК. Однако наблюдается довольно значительная гибридизация для двух фрагментов *AluI*-рестрикта: длиной 84 и 78 п.о. (эти фрагменты соответствуют участку 16S рРНК 82—166 и 167—244). Это связано, очевидно, с тем, что отнесение сигналов гибридизации и определение значения  $I_j^*$  для этого участка было проведено только по данным рестрикции *AluI*. Для рестриктов *MspI* и *HaeIII* эта область попадает во фрагменты длиной 736 и 167 п.о., которые гибридизуются и в опыте, и в контроле. И наконец, сопоставление экспериментальных данных по гибридизации и теоретических оценок стабильности дуплексов не позволяет сделать однозначный вывод, по какому участку (442—452 или 450—460) происходит алкилирование, так как они имеют близкие значения параметров  $\Delta G_j$  и  $K_n/K_c$ .

*Реагент (II).* В табл. 2 приведены аналогичные данные для взаимодействия реагента (II) с 16S рРНК. Но в отличие от реагента (IV) только участок 895—903 образует достаточно прочный комплекс с реагентом (II) ( $\Delta G = -12,4$  ккал/моль); остальные комплексы обладают примерно одинаковой стабильностью. Небольшие различия в интенсивности сигналов гибридизации для участка 16S рРНК 895—903 и участков 324—332, 813—821, 1174—1182, 1233—1241, 1428—1436, которые образуют значительно менее стабильные дуплексы с реагентом (II), объясняются тем, что эти участки, так же как и выбранный участок 1497—1505, не заняты в образовании вторичной структуры и более доступны для реагента (II), чем остальные, и 895—903 в частности. Как и в случае реагента (IV), для реагента (II) обнаружены аномально высокие значения  $I_j^*$  для участков 82—166 и 167—244 (15,4 и 18,4 соответственно). Кроме того, некоторая неоднозначность наблюдается при идентификации сайтов связывания реагента (II) в области 16S рРНК 1206—1385. По оценкам  $\Delta G_j$  и отношению  $K_n/K_c$ , в этом случае возможно образование трех несовершенных комплексов с реагентом (II) примерно одинаковой стабильности. Для реагента (II) кроме связывания и алкилирования по выбранному участку 1497—1505 (данные работы [1]) с помощью сопоставления данных по гибридизации и теоретических оценок выявлено связывание и алкилирование еще по крайней мере в семи несовершенных дуплексах.

*Реагент (III).* Сопоставление экспериментальных данных со значениями  $\Delta G_j$  и  $-\lg K_n/K_c$  (табл. 3) позволило идентифицировать следующие участки как сайты связывания реагента (III): 58—66, 181—189, 422—430, 564—572, 655—663, 727—735, 871—866, 1058—1066, 1091—1099, 1291—1299, 1331—1339. Наибольшее несоответствие интенсивности сигнала гибридизации ( $I_j^*$ ) и относительной стабильности гетеродуплексов наблюдается для участков 727—735 ( $-\lg K_n/K_c = 5,7$ ) и 871—

879 ( $-\lg K_u/K_c = 2,9$ ). Это связано с тем, что участок 727—735 находится в петле, а 871—879 — в двусpirальной области согласно модели вторичной структуры 16S рРНК [18]. Кроме выбранного участка (1491—1499) и участка 727—735 в одноцепочечной области находятся фрагменты 16S рРНК — 1131—1339 и 58—66. Они алкилируются реагентом (III) в большей степени, чем участки 16S рРНК, образующие примерно такие же по стабильности несовершенные комплексы с реагентом, но находящиеся в двусpirальных областях 16S рРНК.

При внимательном рассмотрении несовершенных комплексов, приведенных в табл. 1—3, видно, что основной вклад в модификацию в несовершенных комплексах вносят гетеродуплексы, в которых неспаренные основания находятся на одном или обоих концах участка взаимодействия. На долю таких гетеродуплексов приходится 13 из 20 самых стабильных участков, приведенных в табл. 1 для реагента (IV). Полученные нами данные по влиянию вторичной структуры 16S рРНК на сайт-направленную модификацию для каждого из реагентов (II)—(IV) позволяют объяснить практически полное отсутствие модификации 16S рРНК реагентом (I) [7]. Реагент (I) полностью комплементарен 3'-концевой шпильке 16S рРНК, обладающей аномальной стабильностью [20]; все другие участки 16S рРНК, которые могут образовывать с реагентом (I) несовершенные комплексы, также в основном находятся в двусpirальных участках (данные не приводятся). Следовательно, отсутствие модификации 16S рРНК реагентом (I) — результат занятости участков РНК, полностью или частично комплементарных олигонуклеотидной части реагента (I), в формировании вторичной структуры молекулы 16S рРНК.

Таким образом, при проведении реакции сайт-направленной модификации при высоких концентрациях реагентов алкилирование по выбранному участку является основным (не менее 50% для реагента (II) и не менее 20% для реагента (IV)). Наряду с выбранным участком модификации подвергаются фрагменты, образующие с реагентом несовершенные комплексы, причем основной вклад вносит модификация в комплексах с неспаренными основаниями на концах. В случае, если все фрагменты РНК, способные образовывать комплексы с реагентом, равнозначны по участку в формировании вторичной структуры молекулы, алкилирование происходит в составе наиболее стабильных гетеродуплексов. Если же фрагменты матрицы, образующие несовершенные комплексы с реагентом, не вовлечены в образование спиральных участков, т. е. открыты, алкилирование предпочтительно протекает по этим участкам. Участки РНК, полностью занятые в образовании вторичной структуры, значительно хуже вступают в реакцию сайт-направленной модификации, даже при возможности образования более прочного комплекса с реагентом. Теоретическая оценка относительной стабильности гетеродуплексов как по программе «Energy», так и по методу [8] хорошо согласуется с полученными экспериментальными данными, что позволяет использовать оба этих метода для предсказания уровня модификации в несовершенных дуплексах.

### Экспериментальная часть

В работе использовали 30S субчастицы рибосом *E. coli*, любезно предоставленные С. В. Кирилловым и В. И. Махно (ЛИЯФ); РНКазу H *E. coli*, любезно предоставленную Н. В. Чичковой (МГУ, лаб. им. Белозерского), плазмиду рКК 3535 [18], любезно предоставленную Г. Ф. Ноллером; T4-РНК-лигазу (154 000 ед. акт./мл; НПО «Фермент», Вильнюс); РНКазу A (НПО «Биолар», Рига); рестриктазы *Xba*I, *Bam*HI, *Msp*I, *Hae*III, *Alu*I (НПО «Вектор», Кольцово); цитидин-[ $5'$ - $^{32}$ P]-3',5'-дифосфат с уд. акт.  $>1$  ПБк/моль отечественного производства; агарозу (Sigma, США); среды фирмы Gibco (Англия); капроновую мембрану (диаметр пор 0,2 мкм) производства экспериментальной лаборатории Р/К «Хийу Калур» (Эстония); все остальные реактивы — препараты фирм Merck, Serva (ФРГ) и Fluka (Швейцария). Денситометрический профиль рентге-

новской пленки послеadioавтографии получали с помощью лазерного сканера Ultrascan (LKB, Швеция).

*Синтез дезоксирибоолигонуклеотидов d(pACCTTGTT)rA, d(pT'ACGACT)rU, d(pTTTGCTCCCC)rA, их бензилиденовых производных — реагентов (II)–(IV) соответственно и характеристики реагентов приведены в работах [7, 10].*

*Выделение 16S pРНК, сайт-направленная модификация реагентами (II)–(IV) и выделение ковалентных аддуктов 16S pРНК с этими реагентами, а также гидролиз цепи РНК в составе ковалентных аддуктов с помощью РНКазы Н и введение  $^{32}\text{P}$ -метки в получившуюся смесь фрагментов подробно описаны в работах [1, 10, 11]. Комплементарно адресованное алкилирование 16S pРНК проводили 90 ч при 20° С в буфере ТМК<sub>350</sub> (50 мМ трис-HCl (pH 7,4), 20 мМ MgCl<sub>2</sub>, 0,35 М KCl) при концентрации 16S pРНК  $1 \cdot 10^{-6}$  М; [II] =  $2 \cdot 10^{-5}$  М; [III] =  $3 \cdot 10^{-5}$  М; [IV] =  $2 \cdot 10^{-5}$  М. (Степень превращения реагентов в активную промежуточную частицу — этилениммониевый катион — составляла в этих условиях примерно 90%). Были получены ковалентные аддукты (16S pРНК)–(II), (16S pРНК)–(III), (16S pРНК)–(IV) со степенями модификации равными 0,95; 1,60; 1,25 моль остатков реагента на 1 моль 16S pРНК соответственно.*

*Выделение плазмида рKK 3535 и ее гидролиз ферментами рестрикции.* ДНК плазмида рKK 3535 трансформировали в клетки *E. coli* HB 101; трансформированные клетки выращивали на LB-среде в присутствии ампициллина, как описано в работе [21]. Плазмиду выделяли щелочным способом и дочищали с помощью гель-фильтрации на сепарозе CL-4B. Фрагмент *Bam*H—*Xba*I длиной 3240 п.о., образовавшийся в результате рестрикции плазмида рKK 3535 рестриктазами *Bam*H и *Xba*I, выделяли электрофорезом в 1% агарозе с последующей электроэлюзией на диализную мембрану. Выделенный фрагмент разделили на три порции и проводили рестрикцию *Msp*I, *Hae*III, *Alu*I. Получившиеся гидролизаты разделяли с помощью электрофореза в 10% ПААГ в нативных условиях ( $15 \times 20 \times 0,05$  см), электрофорез проводили до выхода бромфенолового синего из геля. Фрагменты ДНК в геле окрашивали бромистым этидием и осуществляли электроперенос на капроновую мембрану в течение 30 мин (ток 0,5 А). Фрагменты ДНК иммобилизовали на мемbrane с помощью УФ-облучения.

*Гибридизация.* Фильтр с иммобилизованными на нем фрагментами ДНК прединкубировали согласно [22] 4–6 ч при 37° С в буфере следующего состава: 50% формамид, 10 мМ трис-HCl (pH 7,4), 1 мМ EDTA, 0,1% SDS, 5 × SSC \*, 4 × Денхардт \*\*, 10 мкг/мл денатурированная ДНК из спермы лосося, 0,1 мкг/мл poly(rA). Затем в течение 18 ч при 37° С в том же буфере проводили гибридизацию фильтра с 8 мкг смеси  $^{32}\text{P}$ -меченых фрагментов 16S pРНК ((10–12) ·  $10^6$  имп/мин по Черенкову), получившихся в результате расщепления цепи РНК в составе ковалентного аддукта с реагентом (II), (III) или (IV), с помощью РНКазы Н.  $^{32}\text{P}$ -Метку вводили в смесь фрагментов после гидролиза РНКазой Н. После гибридизации фильтр промывали при 37° С 2 раза по 15 мин в буфере, содержащем 2 × SSC, 0,1% SDS, затем 2 раза по 15 мин в буфере состава 0,1 × SSC, 0,1% SDS. Отмытый таким способом фильтр инкубировали 30 мин при 37° С с раствором РНКазы А (40 мкг/мл) в 2 × SSC, как описано в работе [23]. После инкубации с ферментом фильтр промывали так же, как и в первый раз. Влажный фильтр экспонировали при 0° С в течение 2–5 сут на рентгеновскую пленку PMB-1 с усиливающим экранином.

Авторы выражают благодарность О. С. Федоровой и Е. М. Ивановой (НИБХ СО АН СССР) за большую помощь в обсуждении полученных результатов.

\* 1 × SSC : 0,15 М NaCl, 0,015 М цитрат натрия.

\*\* 1 × Денхардт: 0,1% фикол-400, 0,1% бычий сывороточный альбумин, 0,1% поливинилпирролидон.

## СПИСОК ЛИТЕРАТУРЫ

1. Зенкова М. А., Карпова Г. Г., Левина А. С. // Молекуляр. биология. 1989. Т. 23. Вып. 4. С. 1057—1066.
2. Гринева Н. И. // Вестн. АМН СССР. 1981. № 2. С. 83—93.
3. Бросалина Е. Б., Власов В. В., Кутявин И. В., Мамаев С. В., Племинев А. Г., Подыминогин М. А. // Биоорган. химия. 1986. Т. 12. № 2. С. 240—247.
4. Власов В. В., Кнорре Д. Г., Кутявин И. В., Мамаев С. В., Подуст Л. М., Федорова О. С. // Биоорган. химия. 1987. Т. 13. № 9. С. 1221—1229.
5. Кнорре Д. Г., Кутявин И. В., Левина А. С., Пичко Н. П., Подуст Л. М., Федорова О. С. // Биоорган. химия. 1986. Т. 12. № 2. С. 230—239.
6. Гимаутдинова О. И., Горшкова И. И., Грайфер Д. М., Карпова Г. Г., Кутявин И. В. // Молекуляр. биология. 1984. Т. 18. Вып. 6. С. 1419—1423.
7. Горшкова И. И., Зенкова М. А., Карпова Г. Г., Левина А. С., Соловьев В. В. // Молекуляр. биология. 1986. Т. 20. Вып. 4. С. 1084—1096.
8. Perelroyzen M. P., Vologodskii A. V. // Nucl. Acids Res. 1988. V. 16. № 10. Р. 4693—4704.
9. Соловьев В. В., Кель А. Э., Рогозин И. Б., Колчанов Н. А. Использование ЭВМ в молекулярной биологии. Введение в теорию генетических текстов. Новосибирск: Изд-во НГУ, 1987. С. 58—70.
10. Зенкова М. А., Карпова Г. Г., Левина А. С. // Молекуляр. биология. 1987. Т. 21. Вып. 4. С. 1130—1136.
11. Зенкова М. А., Карпова Г. Г., Левина А. С. // Биоорган. химия. 1990. Т. 16. № 6. С. 780—787.
12. Brosius J., Dull T. J., Sleeter D. D., Noller H. F. // J. Mol. Biol. 1981. V. 148. № 2. Р. 107—127.
13. Southern F. M. // J. Mol. Biol. 1975. V. 98. № 3. Р. 503—534.
14. Donniss-Keller H. // Nucl. Acids Res. 1977. V. 4. № 8. Р. 2527—2538.
15. Соловьев В. В., Жарких А. А., Колчанов Н. А. // Молекуляр. биология. 1985. Т. 19. Вып. 2. С. 524—536.
16. Tinoco I., Uhlenbeck O., Levine M. D. // Nature. 1971. V. 230. № 5296. Р. 362—367.
17. Salser W. // Cold Spring Harbor Symp. Quant. Biol. 1979. V. 42. Р. 985—1002.
18. Moazed D., Stan S., Noller H. F. // J. Mol. Biol. 1986. V. 187. № 3. Р. 399—416.
19. Tinoco I., Borer P. N., Deugler B., Levine M. D., Uhlenbeck O., Crothers D. M., Gralla J. // Nature New Biol. 1973. V. 246. № 5427. Р. 40—41.
20. Heus H. F., Van Kimmenade J. V. A., Van Knippenberg P. H. // Nucl. Acids Res. 1987. V. 11. № 1. Р. 203—210.
21. Манцатис Т., Фрич Э., Сайбрюк Дж. Молекулярное клонирование. М.: Мир, 1984. С. 74—83.
22. Mason Ph. J., Williams J. G. // Nucleic acid hybridization. A practical approach / Eds Hames B. D., Higgins S. J. Oxford — Washington: IRL Press, 1985. Р. 113—138.
23. Barla A., Steiner G., Brosius J., Noller H. F., Kuechler E. // Proc. Nat. Acad. Sci. USA. 1984. V. 81. № 12. Р. 3607—3611.

Поступила в редакцию  
8.VIII.1989

M. A. ZENKOVA, G. G. KARPOVA, A. S. LEVINA, S. V. MAMAEV,  
V. V. SOLOVIEV \*

### COMPLEMENTARY ADDRESSED ALKYLATION OF THE *ESCHERICHIA COLI* 16S rRNA WITH 2', 3'-O-[4-N-METHYL-N-(2-CHLOROETHYL)-AMINO]BENZYLIDENE DERIVATIVES OF OLIGODEOXYRIBONUCLEOTIDES. IV. IDENTIFICATION OF 16S rRNA BINDING SITES WITH BENZYLIDENE DERIVATIVES OF d(pACCTTGTTrA), d(pTTACGACT)rU, d(pTTTGCTCCCC)rA

Novosibirsk Institute of Bioorganic Chemistry, Siberian Division, Academy of Sciences of the USSR;

\* Institute of Cytology and Genetics, Siberian Division, Academy of Sciences of the USSR, Novosibirsk

By site-directed alkylation of 16S rRNA with benzylidene derivatives of d(pACCTTGTTrA) (II), d(pTTACGACT)rU (III), d(pTTTGCTCCCC)rA (IV) (reagents (II)—(IV)) followed by the RNase H treatment a number of 16S rRNA fragments have been obtained. Hybridisation of these fragments with restriction fragments of plasmid pKK 3535, containing operon *rrnB* of *E. coli* rRNAs, led to the identification of all reagents' binding sites in 16S rRNA. Good correlation is found between estimated stability of non-perfect 16S rRNA·oligodeoxyribonucleotide duplexes and the level of modification of this site with alkylating derivative of the same oligodeoxyribonucleotide. With high concentration of the reagents (II)—(IV) ( $(2\text{--}5)\cdot10^{-5}$  M) the site-directed alkylation proceeds not only at the desired site but also at other sites corresponding to non-perfect duplexes between 16S rRNA and the reagents. It should be noted that the modification mainly occurs in the non-perfect duplexes, carrying mismatched bases at the termini. Influence of the secondary structure of 16S rRNA on the site-directed modification is discussed.